

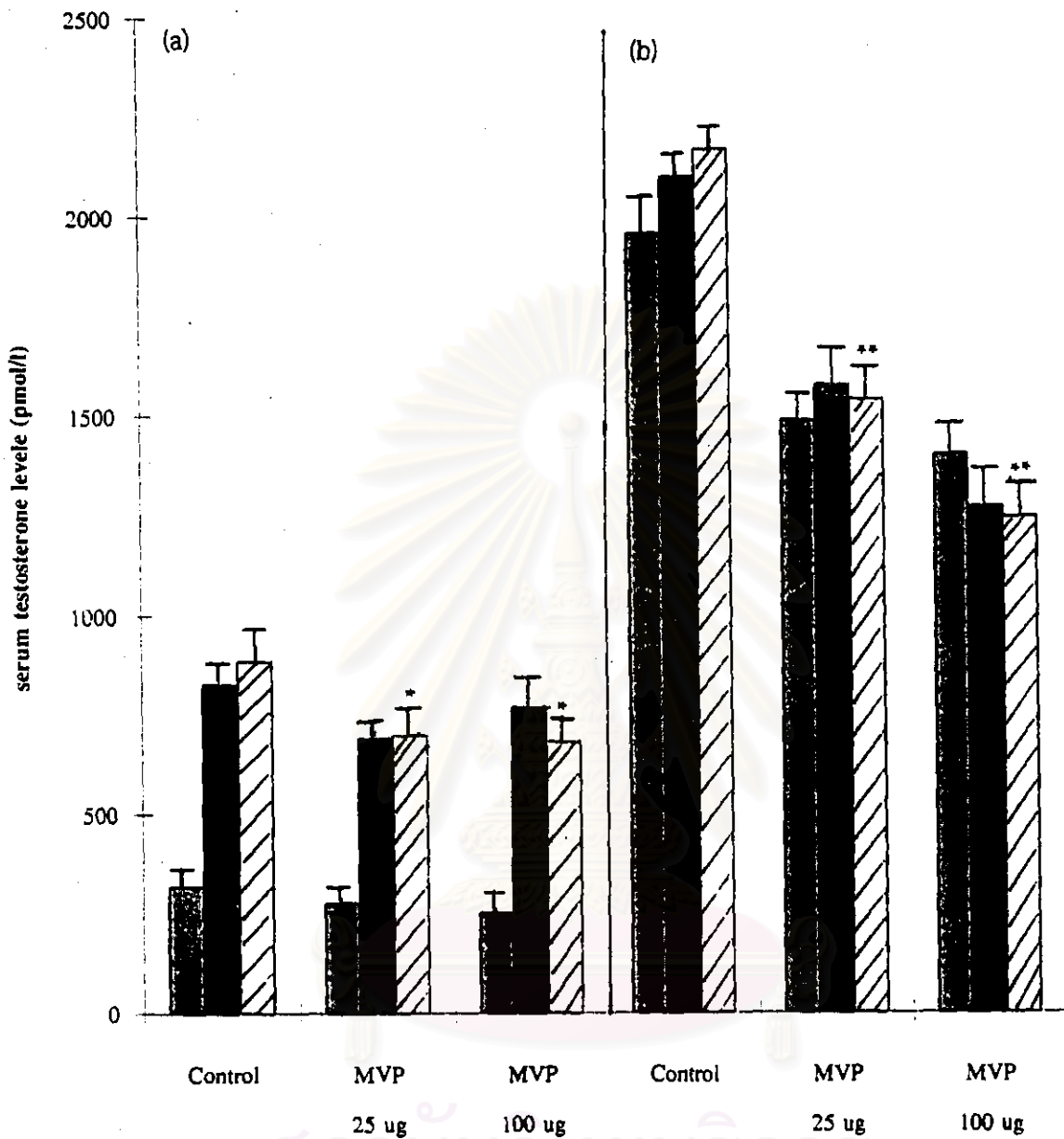
ผลการทดลอง

ผลของเมวินฟอสต์ต่อระดับเทสโทสเดอโรนในซีรัมของหนูเพศผู้อายุ 24 วัน

จากรูปที่ 2(a) ระดับเทสโทสเดอโรนในซีรัมของหนูที่ได้รับเมวินฟอสต์ ปริมาณ 25 และ 100 ไมโครกรัมต่อน้ำหนักตัว 1 กิโลกรัม เมื่ออายุ 24 วัน เป็นเวลา 10 และ 20 วัน พบว่ามีระดับเทสโทสเดอโรนไม่แตกต่างกับกลุ่มควบคุมอย่างใด ในขณะที่เมื่อได้รับ ปริมาณ 25 ไมโครกรัมต่อน้ำหนักตัว 1 กิโลกรัม เป็นเวลา 30 วัน ระดับเทสโทสเดอโรนจะลดต่ำลง ( $679.7 \pm 65.0$  พิโคโมลต่อลิตร) อย่างมีนัยสำคัญทางสถิติ ( $p < 0.05$ ) เมื่อเปรียบเทียบกับกลุ่มควบคุม ( $932.3 \pm 65.4$  พิโคโมลต่อลิตร) เช่นเดียวกันกับในกลุ่มที่ได้รับเมวินฟอสต์ปริมาณ 100 ไมโครกรัมต่อน้ำหนักตัว 1 กิโลกรัม เป็นเวลา 30 วัน พบว่าระดับเทสโทสเดอโรนก็จะลดลง ( $675.0 \pm 53.3$  พิโคโมลต่อลิตร) อย่างมีนัยสำคัญทางสถิติ ( $p < 0.05$ ) เมื่อเปรียบเทียบกับกลุ่มควบคุมเช่นเดียวกัน

ผลของเมวินฟอสต์ต่อระดับเทสโทสเดอโรนในซีรัมของหนูเพศผู้อายุ 50 วัน

จากรูปที่ 2(b) ระดับเทสโทสเดอโรนในซีรัมของหนูที่ได้รับเมวินฟอสต์ ปริมาณ 25 และ 100 ไมโครกรัมต่อน้ำหนักตัว 1 กิโลกรัม เมื่ออายุ 50 วัน เป็นเวลา 10 และ 20 วัน พบว่ามีระดับเทสโทสเดอโรน ไม่แตกต่างกับกลุ่มควบคุมแต่อย่างใด แต่เมื่อได้รับเมวินฟอสต์ปริมาณ 25 และ 100 ไมโครกรัมต่อน้ำหนักตัว 1 กิโลกรัม เป็นเวลา 30 วัน ระดับเทสโทสเดอโรนจะลดต่ำลง ( $1302.5 \pm 95.1$  และ  $1546.6 \pm 95.3$  พิโคโมลต่อลิตร) ตามลำดับ อย่างมีนัยสำคัญทางสถิติ ( $p < 0.01$ ) เมื่อเปรียบเทียบกับกลุ่มควบคุม ( $2163.0 \pm 95.1$  พิโคโมลต่อลิตร)



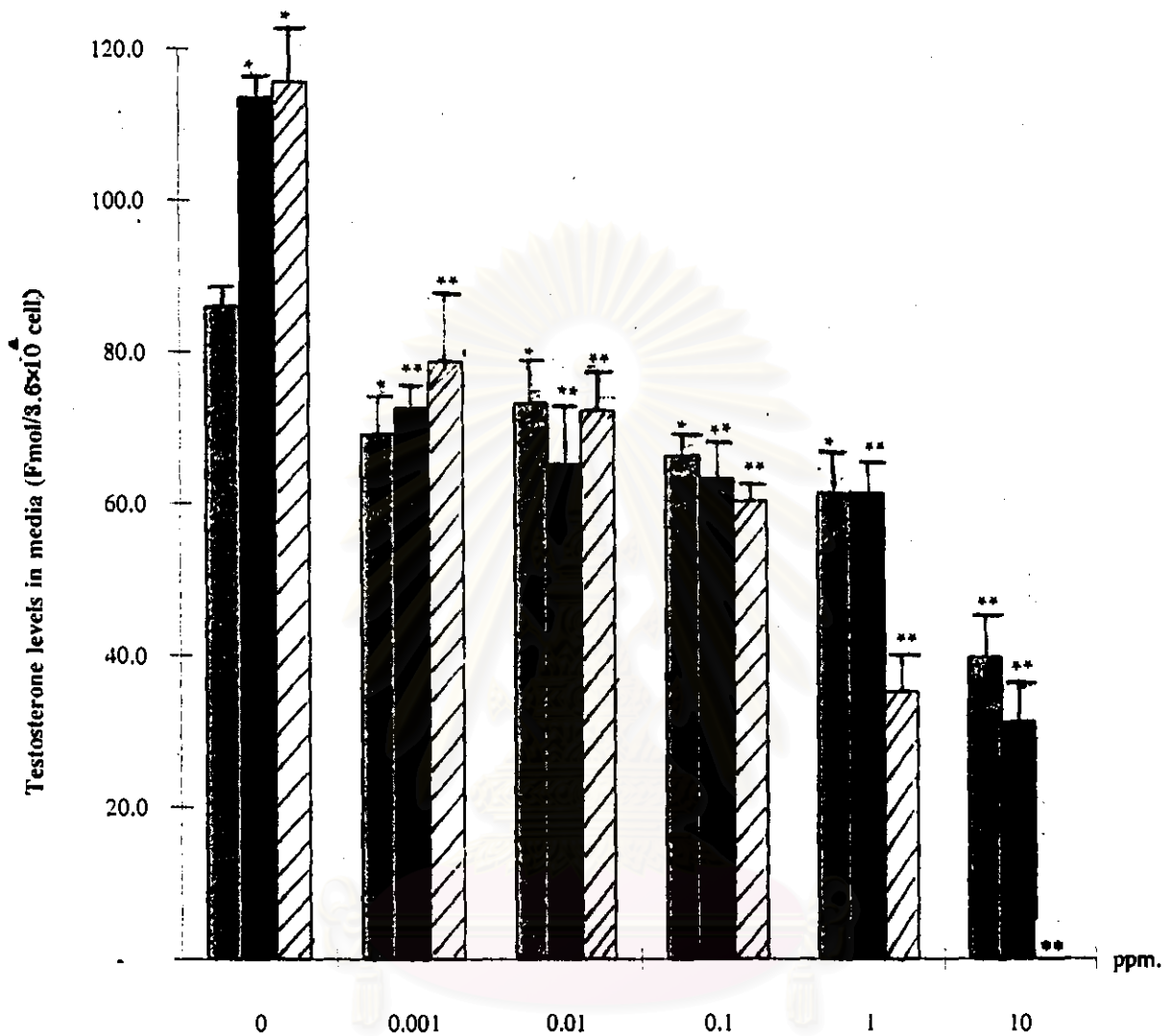
รูปที่ 2 แสดงระดับเทสโทสเตอโรนในซีรัม พิโคโมลต่อลิตร (Pmol/L) ของหนู เมื่อได้รับเมวินฟอส (MVP) ปริมาณ 25 และ 100 ไมโครกรัม/กิโลกรัม เป็นเวลา 10 (☒), 20 (■) และ 30 (▨) วัน โดยเริ่มฉีด เมื่อหนูอายุ 24 วัน (a) และ 50 วัน (b) \* และ \*\* แตกต่างกับกลุ่มควบคุม อย่าง มีนัยสำคัญ  $p < 0.05$  และ  $p < 0.01$  ตามลำดับ ค่าที่แสดงเป็นค่าเฉลี่ย  $\pm$  SEM ( $n=14-15$ )

ผลของเมวินฟอสต่อการหลั่งเทสโทสเตอโรนจาก Leydig cell ของหนูอายุ 24 วัน

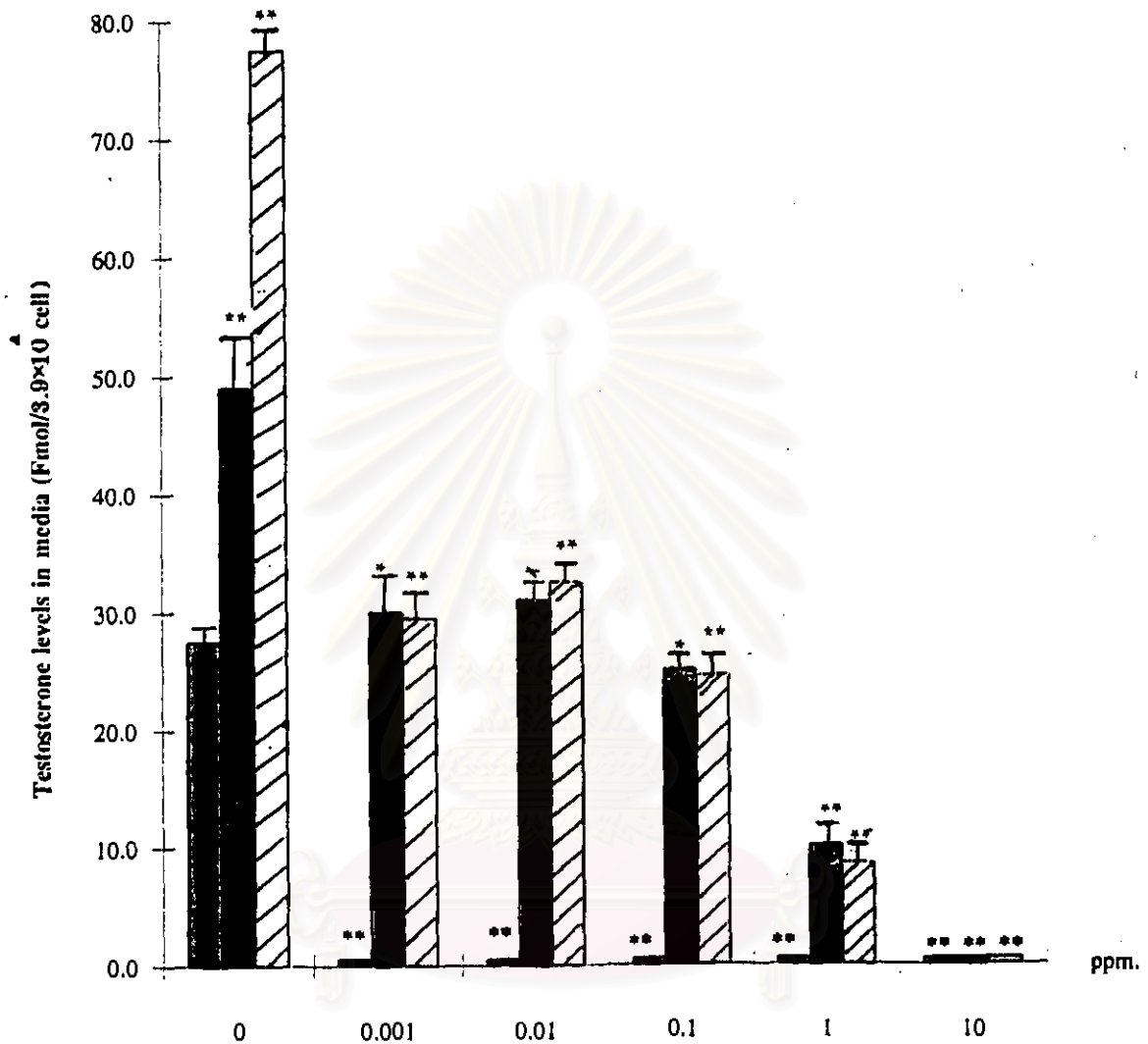
จากรูปที่ 3 ปริมาณเทสโทสเตอโรนใน media จะมีปริมาณมากขึ้นเมื่อกระตุ้นด้วย hCG และ cAMP ( $113.0 \pm 2.0$  และ  $116.3 \pm 7.3$  เฟมโตโมล/ $3.6 \times 10^4$  cell) ตามลำดับ อย่างมีนัยสำคัญทางสถิติ ( $p < 0.05$ ) เมื่อเปรียบเทียบกับกลุ่มควบคุม ( $86.6 \pm 1.6$  เฟมโตโมล/ $3.6 \times 10^4$  cell) แต่จะพบว่าปริมาณเทสโทสเตอโรนใน media ที่มีเมวินฟอส ปริมาณ 0.001, 0.01, 0.1 และ 1 ppm. จะลดระดับเทสโทสเตอโรนลง ( $68.0 \pm 1.2$ ,  $71.2 \pm 2.2$ ,  $66.34 \pm 3.6$ ,  $63.1 \pm 1.1$  เฟมโตโมล/ $10^4$  cell) ตามลำดับ แตกต่างจากกลุ่มควบคุมอย่างมีนัยสำคัญทางสถิติ ( $p < 0.05$ ) ในขณะที่ความเข้มข้นของเมวินฟอส 10 ppm. จะทำให้ปริมาณเทสโทสเตอโรนลดลงมากขึ้น ( $39.4 \pm 5.3$  เฟมโตโมล/ $3.6 \times 10^4$  cell) อย่างมีนัยสำคัญทางสถิติ ( $p < 0.01$ ) เมื่อเปรียบเทียบกับกลุ่มควบคุม ( $86.6 \pm 1.6$  เฟมโตโมล/ $3.6 \times 10^4$  cell) นอกจากนี้ ปริมาณเทสโทสเตอโรนใน media ที่มี hCG 0.078 IU และเมวินฟอสที่ความเข้มข้น 0.001, 0.01, 0.01, 1 และ 10 ppm สามารถลดปริมาณเทสโทสเตอโรนลง ( $72.5 \pm 1.6$ ,  $65.1 \pm 5.8$ ,  $63.2 \pm 4.7$ ,  $61.3 \pm 3.1$  และ  $31.1 \pm 4.3$  เฟมโตโมล/ $3.6 \times 10^4$  cell) ตามลำดับ อย่างมีนัยสำคัญทางสถิติ ( $p < 0.01$ ) เมื่อเปรียบเทียบกับกลุ่มควบคุม ( $113.0 \pm 2.0$  เฟมโตโมล/ $3.6 \times 10^4$  cell) คล้ายกับปริมาณเทสโทสเตอโรนใน media ที่มี cAMP 10 nM และเมวินฟอส ปริมาณ 0.001, 0.01, 0.1, 1.0 และ 10 ppm. สามารถลดปริมาณเทสโทสเตอโรนลง ( $78.3 \pm 9.1$ ,  $72.0 \pm 3.5$ ,  $60.0 \pm 1.8$ ,  $35.0 \pm 4.0$  และ 0.0 เฟมโตโมล/ $3.6 \times 10^4$  cell) ตามลำดับ อย่างมีนัยสำคัญทางสถิติ ( $p < 0.01$ ) เมื่อเปรียบเทียบกับกลุ่มควบคุม ( $116.3 \pm 7.3$  เฟมโตโมล/ $3.6 \times 10^4$  cell)

ผลของเมวินฟอสต่อการหลั่งเทสโทสเตอโรนจาก Leydig cell ของหนูอายุ 70-75 วัน

จากรูปที่ 4 ปริมาณเทสโทสเตอโรนใน media จะเพิ่มขึ้นเมื่อกระตุ้นด้วย hCG และ cAMP ( $49.0 \pm 4.0$  และ  $77.5 \pm 1.4$  เฟมโตโมล/ $3.9 \times 10^4$  cell) ตามลำดับ อย่างมีนัยสำคัญทางสถิติ ( $p < 0.01$ ) เมื่อเปรียบเทียบกับกลุ่มควบคุม ( $27.5 \pm 1.5$  เฟมโตโมล/ $3.9 \times 10^4$  cell) แต่จะพบว่า ปริมาณเทสโทสเตอโรนใน media ที่มีเมวินฟอส ปริมาณ 0.001, 0.01, 0.1, 1 และ 10 ppm สามารถยับยั้งการหลั่งเทสโทสเตอโรน



รูปที่ 3 แสดงปริมาณเทสโทสเตอโรน เฟมโตโมล (Fmol) ที่หลั่งจาก Leydig cell ( $3.6 \times 10^4$  cell) ของหนูอายุ 24 วัน ที่ได้รับเมวินฟอส ที่ระดับความเข้มข้น 0.001, 0.01, 0.1, 1 และ 10 ppm. ที่เลี้ยงใน media ที่อุณหภูมิ 34 C เป็นเวลา 2 ชั่วโมง (■ = MVP, ■ = MVP+hCG; ▨ = MVP+cAMP) \* และ \*\* ต่างจากกลุ่มที่ไม่มี MVP(0) อย่างมีนัยสำคัญที่  $p < 0.05$  และ  $p < 0.01$  ตามลำดับ ค่าที่แสดงเป็นค่าเฉลี่ย  $\pm$  SEM (n=10)

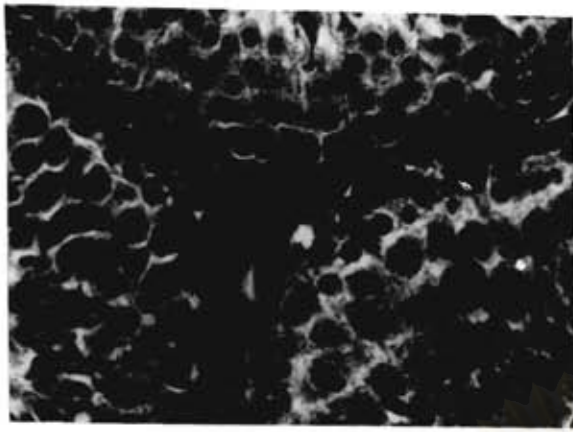


รูปที่ 4 แสดงปริมาณเทสโทสเตอโรน เฟมโตโมล (Fmol) ที่ผลิตจาก Leydig cell ( $3.9 \times 10$  cell) ของหนู อายุ 70-75 วัน ที่ได้รับเมวินฟอส ที่ระดับความเข้มข้น 0.001, 0.01, 0.1, 1 และ 10 ppm. ที่เลี้ยงใน media ที่อุณหภูมิ 34 C เป็นเวลา 2 ชั่วโมง ( ■ = MVP, ■ = MVP+hCG, ▨ = MVP+cAMP) \* และ \*\* แตกต่างจากกลุ่มที่ไม่มี MVP(0) อย่างมีนัยสำคัญที่  $p < 0.05$  และ  $p < 0.01$  ตามลำดับ ค่าที่แสดงเป็นค่าเฉลี่ย  $\pm$  SEM (n=10)

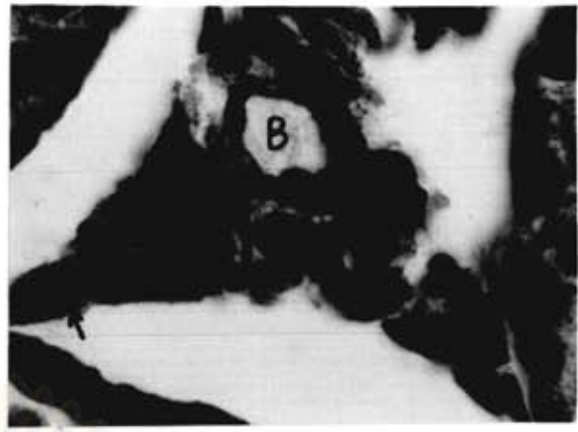
เมื่อเปรียบเทียบกับกลุ่มควบคุม ( $27.5 \pm 1.5$  เฟมโตโมล/ $3.9 \times 10^4$  cell) นอกจากนี้ ปริมาณเทสโทสเดอโรนใน media ที่มี hCG 0.078 IU และเมวินฟอส ปริมาณ 0.001, 0.01, และ 0.1 ppm. สามารถลดปริมาณเทสโทสเดอโรนลงอย่างมีนัยสำคัญทางสถิติ ( $p < 0.05$ ) และ เมวินฟอสที่ปริมาณ 1 และ 10 ppm สามารถลดปริมาณเทสโทสเดอโรนได้อย่างมีนัยสำคัญทางสถิติ ( $p < 0.01$ ) ( $30.0 \pm 2.2$ ,  $31.0 \pm 1.3$ ,  $25.0 \pm 1.4$ ,  $10.0 \pm 1.3$  และ  $0.0$  เฟมโตโมล/ $3.9 \times 10^4$  cell) ตามลำดับ เมื่อเปรียบเทียบกับกลุ่มควบคุม ( $49.0 \pm 4.0$  เฟมโตโมล/ $3.9 \times 10^4$  cell) ในขณะที่ปริมาณเทสโทสเดอโรนใน media ที่มี cAMP 10 nM และเมวินฟอสปริมาณ 0.001, 0.01, 0.1, 1 และ 10 ppm สามารถลดปริมาณเทสโทสเดอโรนลง ( $29.5 \pm 2.0$ ,  $32.8 \pm 1.5$ ,  $24.0 \pm 1.0$ ,  $8.3 \pm 1.8$  และ  $0.0$  เฟมโตโมล/ $3.9 \times 10^4$  cell) ตามลำดับ อย่างมีนัยสำคัญทางสถิติ ( $p < 0.01$ ) เมื่อเปรียบเทียบกับกลุ่มควบคุม ( $77.5 \pm 1.4$  เฟมโตโมล/ $3.9 \times 10^4$  cell)

#### ผลของเมวินฟอสต่อ Leydig cell ของหนูทดลองอายุ 54 วัน

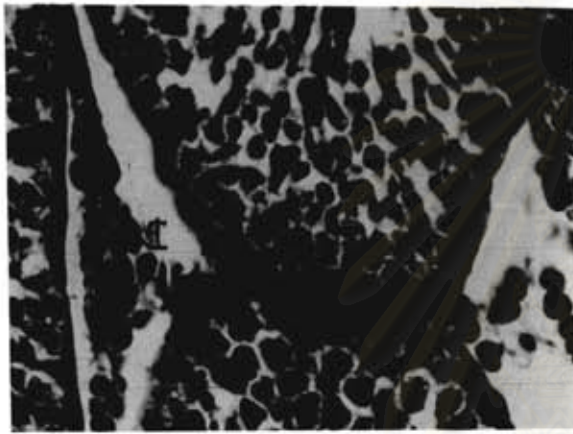
เนื้อเยื่ออัณฑะของหนูอายุ 24 วัน ซึ่งได้รับเมวินฟอสในปริมาณ 25 ไมโครกรัม ค่อน้ำหนักตัว 1 กิโลกรัม ติดต่อกันเป็นเวลา 30 วัน โดยเริ่มฉีดเมื่ออายุ 24 วัน พบว่า มีการเปลี่ยนแปลงของเนื้อเยื่อระหว่างท่อเซมินิเฟอรัสและ Leydig cell ในลักษณะที่มีการรวมกลุ่มโครมาตินที่บริเวณรอบ ๆ เซลล์นิวเคลียส และนิวคลีโอลัสหลายตัว มีการเปลี่ยนแปลงรูปร่างลักษณะนิวเคลียสและมีขนาดเล็กลง รวมทั้งมีการตายของเซลล์ในลักษณะที่เกิดการสลายตัวของนิวเคลียส (รูปที่ 5-D,F) เมื่อเปรียบเทียบกับเนื้อเยื่อและ Leydig cell กับกลุ่มควบคุม (รูปที่ 5-A,B) ซึ่งมี Leydig cell ที่อยู่ในสภาพปกติ ซึ่งเป็นเซลล์รูปกลม มีนิวเคลียสกลมขนาดใหญ่ ภายในมีนิวคลีโอลัสเห็นชัดเจน 1 อัน บริเวณเนื้อเยื่อที่อยู่ระหว่างท่อเซมินิเฟอรัสมี Leydig cell จำนวนมากเรียงตัวอยู่ล้อมรอบเส้นเลือดบริเวณนี้ ส่วน Leydig cell จากอัณฑะของหนูที่ได้รับเมวินฟอสในปริมาณ 100 ไมโครกรัมค่อน้ำหนักตัว 1 กิโลกรัม ติดต่อกันเป็นเวลา 30 วัน ก็เกิดการเปลี่ยนแปลงในลักษณะเดียวกันกับที่เกิดในหนูที่ได้รับสารเมวินฟอส 25 ไมโครกรัมค่อน้ำหนักตัว 1 กิโลกรัม (รูปที่ 6-D,F)



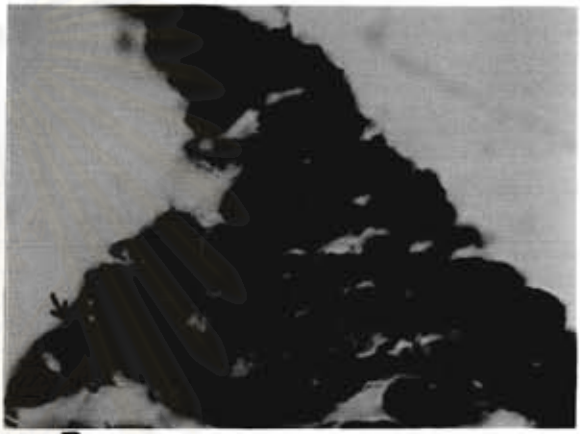
A



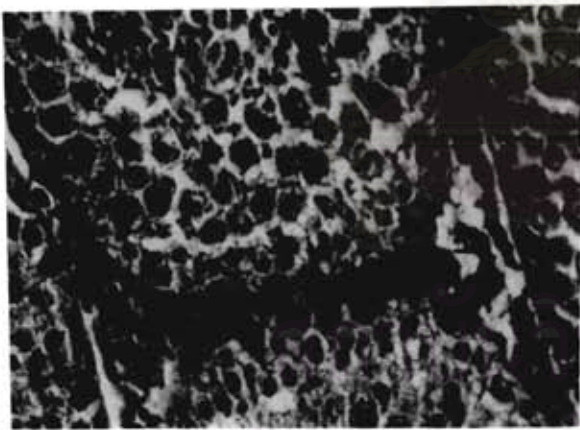
B



C



D



E



F

รูปที่ 5 ภาพจากกล้องจุลทรรศน์ใช้แสง แสดงรูปร่างของ Leydig cell ของหนู อายุ 54 วัน ระหว่างหนูก่อกำเนิดควบคู่กับหนูกดลองที่ได้รับเมวินฟอสในปริมาณ 25 ไมโครกรัมต่อน้ำหนักตัว 1 กิโลกรัม ติดต่อกันเป็นเวลา 30 วัน โดยเริ่มฉีดเมื่ออายุ 24 วัน

5-A แสดงลักษณะของเนื้อเยื่อและ Leydig cell ที่อยู่ระหว่างท่อเซมินิเฟอรัส ของ หนูกลุ่มควบคุมอายุ 54 วัน ซึ่งอยู่ในสภาพปกติ

กำลังขยาย x 100 ส้อมสี Haematoxylin และ Eosin

5-B แสดงลักษณะของ Leydig cell ปกติของหนูกลุ่มควบคุมอายุ 54 วัน (←) เป็น เซลล์รูปกลมภายในไซโทพลาสซึมมีนิวเคลียสกลมใหญ่และมีนิวโคไลด์ 1 อันชัดเจน เซลล์พวกนี้จัดเรียงตัวอยู่รอบ ๆ เส้นเลือด (B)

กำลังขยาย x 250 ส้อมสี Haematoxylin และ Eosin

5-C, E แสดงลักษณะของเนื้อเยื่อที่อยู่ระหว่างท่อเซมินิเฟอรัส ของหนูที่ได้รับเมวินฟอส 25 ไมโครกรัมค่อน้ำหนักตัว 1 กิโลกรัม ติดต่อกันเป็นเวลา 30 วัน เนื้อเยื่อบาง บริเวณมีการเปลี่ยนแปลง (I)

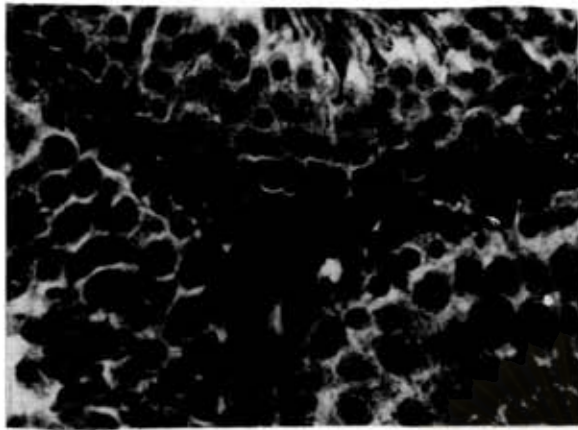
กำลังขยาย x 100 ส้อมสี Haematoxylin และ Eosin

5-D, F แสดงลักษณะของ Leydig cell ของหนูที่ได้รับเมวินฟอส 25 ไมโครกรัมค่อน้ำหนักตัว 1 กิโลกรัม ติดต่อกันเป็นเวลา 30 วัน มีการเปลี่ยนแปลงของรูปร่างและ ลักษณะของนิวเคลียส พบการรวมกลุ่มของโครมาตินที่บริเวณรอบ ๆ เซลล์นิวเคลียส (←) และการสูญเสียส่วนประกอบภายในนิวเคลียส (\*)

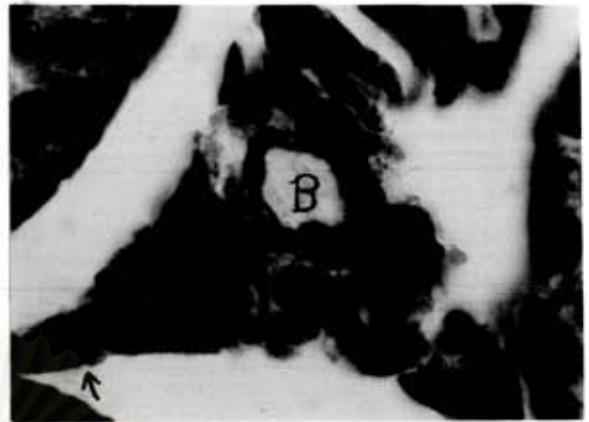
กำลังขยาย x 250 ส้อมสี Haematoxylin และ Eosin

สถาบันวิทยบริการ  
จุฬาลงกรณ์มหาวิทยาลัย

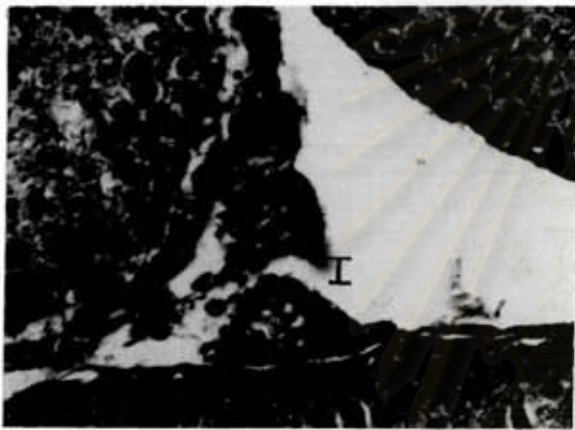




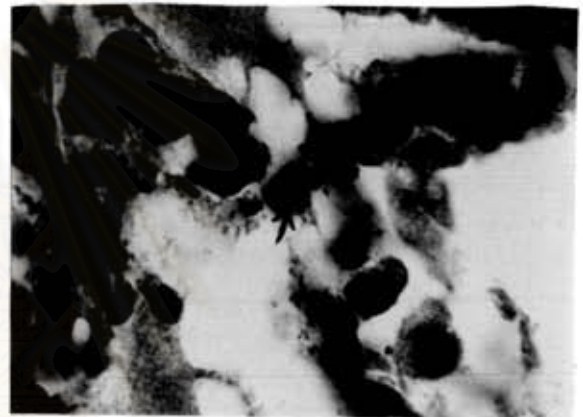
A



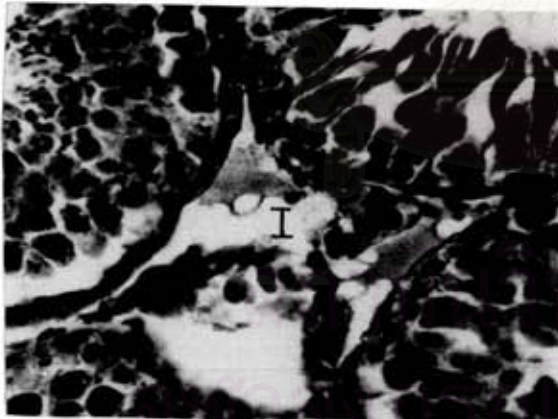
B



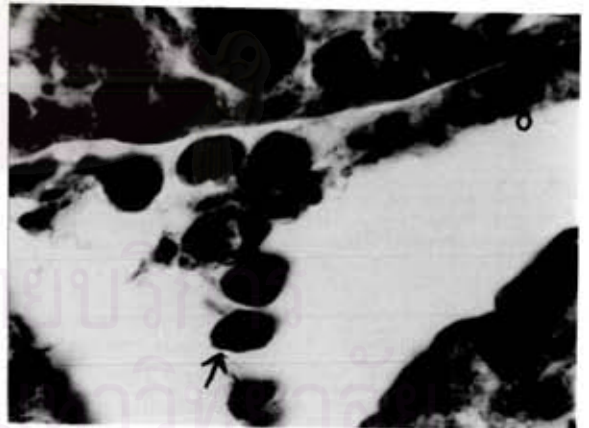
C



D



E



F

รูปที่ 6 ภาพจากกล้องจุลทรรศน์ใช้แสง แสดงรูปร่างของ Leydig cell ของหนู อายุ 54 วัน ระหว่างหนูกุ่มควบคุมกับหนูกดลองที่ได้รับเมวินฟอสในปริมาณ 100 ไมโครกรัมค่อน้ำหนักตัว 1 กิโลกรัม ติดต่อกันเป็นเวลา 30 วัน โดสเริ่มฉีดเมื่ออายุ 24 วัน

6-A แสดงลักษณะของเนื้อเยื่อและ Leydig cell ปกติที่อยู่ระหว่างท่อเซมินิเฟอรัส จากอวัยวะหนูก่อนคลอดอายุ 54 วัน

กำลังขยาย x 100 ส้อมสี Haematoxylin และ Eosin

6-B แสดงลักษณะของ Leydig cell ปกติของหนูก่อนคลอดอายุ 54 วัน (←) เป็นเซลล์รูปกลมภายในไซโทพลาสซึมมีนิวเคลียสกลมใหญ่และมีนิวคลีโอลัส 1 อันชัดเจน เซลล์ขนาดนี้จัดเรียงตัวอยู่รอบ ๆ เส้นเลือด (B)

กำลังขยาย x 250 ส้อมสี Haematoxylin และ Eosin

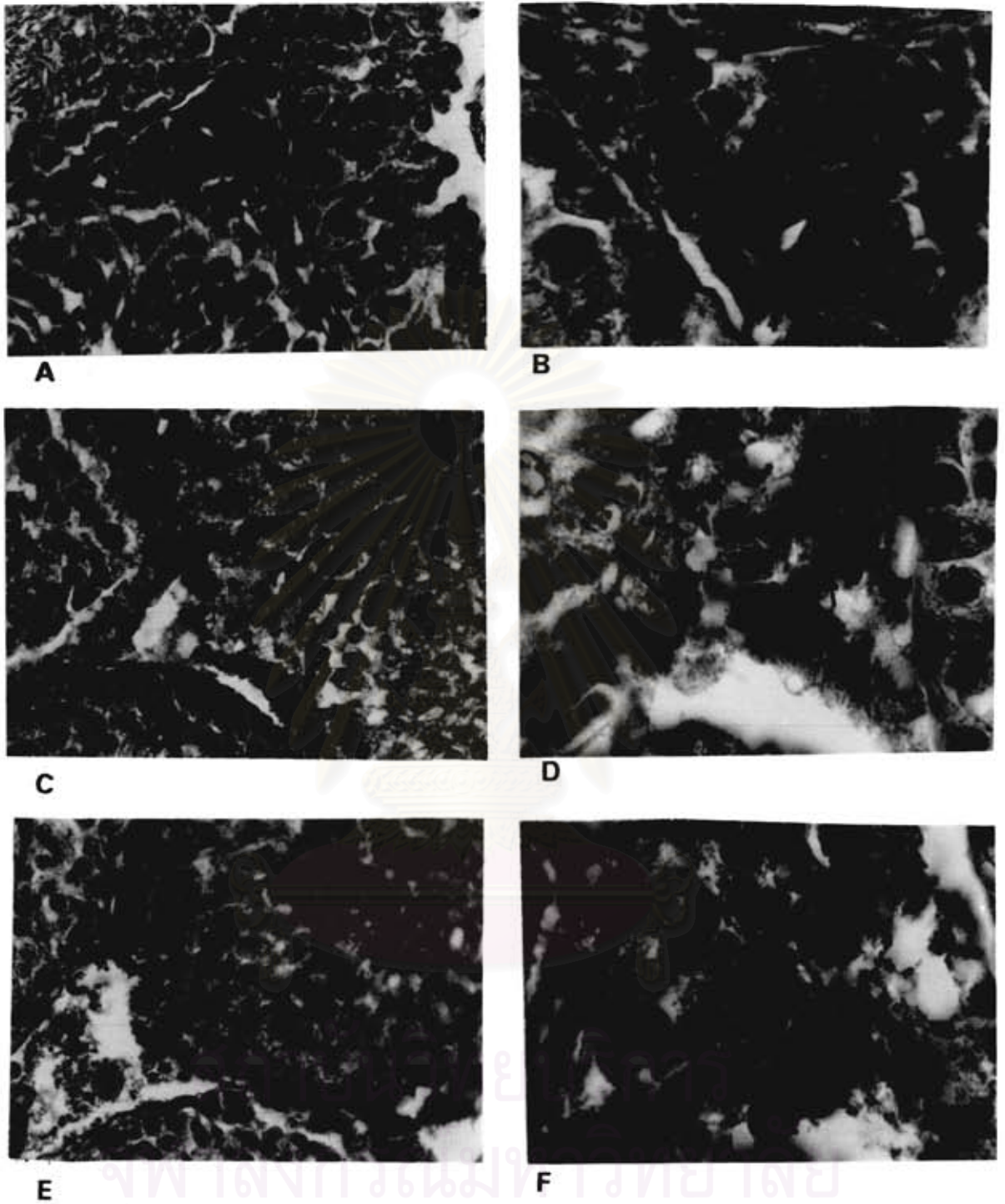
6-C, E แสดงลักษณะของเนื้อเยื่อที่อยู่ระหว่างท่อเซมินิเฟอรัสและ Leydig cell ของหนู ที่ได้รับเมวินฟอส 100 ไมโครกรัมต่อน้ำหนักตัว 1 กิโลกรัม ติดต่อกันเป็นเวลา 30 วัน พบว่ามีการทำลายเนื้อเยื่อบริเวณนี้บางส่วน (I)

กำลังขยาย x 100 ส้อมสี Haematoxylin และ Eosin

6-D, F แสดงลักษณะของ Leydig cell ที่เปลี่ยนแปลงไปภายหลังจากได้รับเมวินฟอส 25 ไมโครกรัมต่อน้ำหนักตัว 1 กิโลกรัม ติดต่อกันเป็นเวลา 30 วัน มีการเปลี่ยนแปลงของรูปร่างและขนาดของนิวเคลียส (←) และเซลล์ตาย (o)

กำลังขยาย x 250 ส้อมสี Haematoxylin และ Eosin

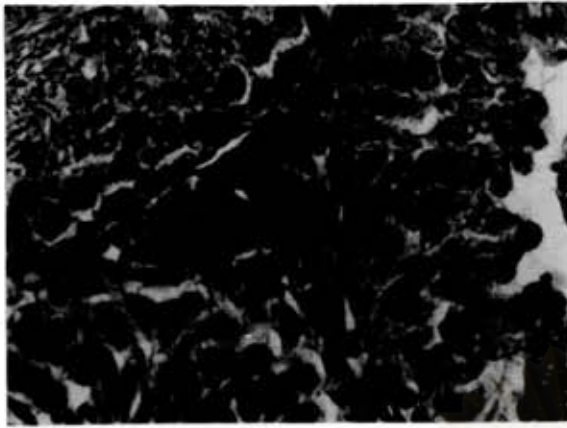
สถาบันวิทยบริการ  
จุฬาลงกรณ์มหาวิทยาลัย



รูปที่ 7 ภาพจากกล้องจุลทรรศน์ใช้แสง แสดงรูปร่างของ Leydig cell ของหนู  
 อายุ 80 วัน ระหว่างหนูกลุ่มควบคุมกับหนูทดลองที่ได้รับเมวินฟอสในปริมาณ  
 25 ไมโครกรัมค่อน้ำหนักตัว 1 กิโลกรัม ติดต่อกันเป็นเวลา 30 วัน โดยเริ่ม  
 ฉีดเมื่ออายุ 50 วัน

- 7-A แสดงลักษณะของเนื้อเยื่อและ Leydig cell ปกติที่อยู่ระหว่างท่อเซมินิเฟอรัส  
ของหนูกลุ่มควบคุมอายุ 80 วัน  
กำลังขยาย x 100 ส้อมสี Haematoxylin และ Eosin
- 7-B แสดงลักษณะของ Leydig cell ในหนูกลุ่มควบคุมอายุ 80 วัน ซึ่งเป็นเซลล์ขนาดใหญ่  
ในผู้มีน้ำเชื้อสกลนภายในมีนิวเคลียส 1 อันชัดเจน (←)  
กำลังขยาย x 250 ส้อมสี Haematoxylin และ Eosin
- 7-C, E แสดงการเปลี่ยนแปลงของเนื้อเยื่อที่อยู่ระหว่างท่อเซมินิเฟอรัสซึ่งถูกทำลายภาย  
หลังได้รับเมวินฟอส 25 ไมโครกรัมต่อน้ำหนักตัว 1 กิโลกรัม ติดต่อกันเป็นเวลา  
30 วัน (I)  
กำลังขยาย x 100 ส้อมสี Haematoxylin และ Eosin
- 7-D, F แสดงลักษณะของ Leydig cell ที่เปลี่ยนแปลงขนาดและรูปร่างของนิวเคลียส  
และมีการรวมกลุ่มของโครมาตินบริเวณรอบ ๆ เยื่อหุ้มนิวเคลียส บางเซลล์เกิด  
การสลายตัวของนิวเคลียส (\*) และมีเซลล์ตาย (o)  
กำลังขยาย x 250 ส้อมสี Haematoxylin และ Eosin

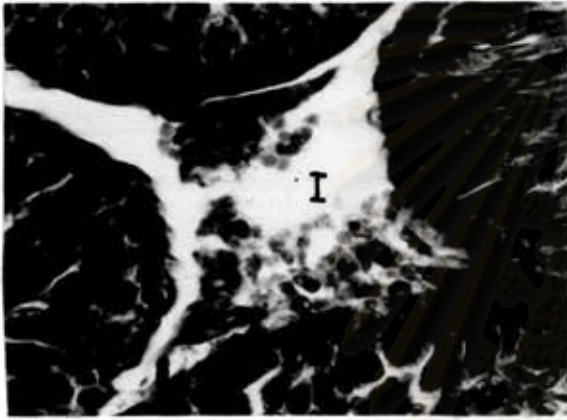
สถาบันวิทยบริการ  
จุฬาลงกรณ์มหาวิทยาลัย



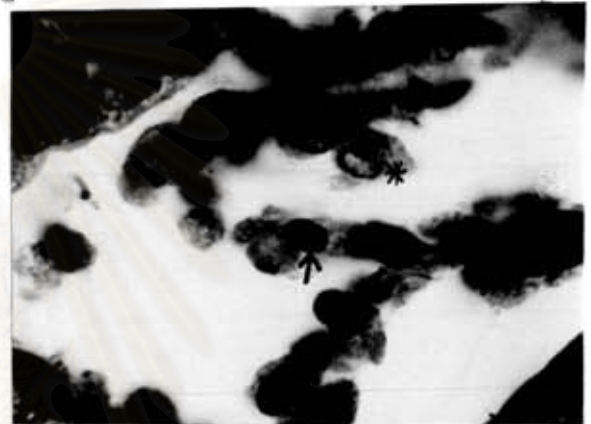
A



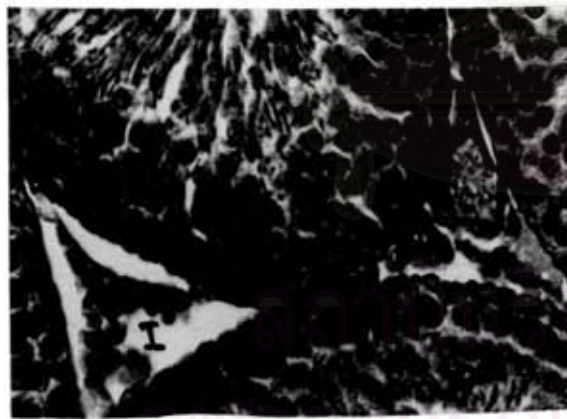
B



C



D



E



F

รูปที่ 8 ภาพจากกล้องจุลทรรศน์ใช้แสง แสดงรูปร่างของ Leydig cell ของหนูอายุ 80 วัน ระหว่างหนูกุ่มควบคุมกับหนูกดลองที่ได้รับเมวินฟอสในปริมาณ 100 ไมโครกรัมต่อน้ำหนักตัว 1 กิโลกรัม ติดต่อกันเป็นเวลา 30 วัน โดยเริ่มฉีดเมื่ออายุ 50 วัน

8-A แสดงลักษณะของเนื้อเยื่อและ Leydig cell ปกติที่อยู่ระหว่างท่อเซมินิเฟอรัส  
ของหนูกลุ่มควบคุมอายุ 80 วัน

กำลังขยาย x 100 ย้อมสี Haematoxylin และ Eosin

8-B แสดงลักษณะของ Leydig cell ปกติของหนูกลุ่มควบคุมอายุ 80 วัน ซึ่งเป็น  
เซลล์กลมมีนิวเคลียสขนาดใหญ่และกลม ภายในเห็นนิวเคลียส 1 อันชัดเจน

กำลังขยาย x 250 ย้อมสี Haematoxylin และ Eosin

8-C, E แสดงการเปลี่ยนแปลงของเนื้อเยื่อที่อยู่ระหว่างท่อเซมินิเฟอรัสของหนูอายุ 80 วัน  
ซึ่งถูกทำลายภายหลังจากได้รับเมวินฟอส 100 ไมโครกรัมค่อน้ำหนักตัว 1 กิโลกรัม  
ติดต่อกันเป็นเวลา 30 วัน (I)

กำลังขยาย x 100 ย้อมสี Haematoxylin และ Eosin

8-D, F แสดงลักษณะของ Leydig cell ของหนูทดลองอายุ 80 วัน ได้รับเมวินฟอส  
100 ไมโครกรัมค่อน้ำหนักตัว 1 กิโลกรัม ติดต่อกันเป็นเวลา 30 วัน พบมีการ  
เปลี่ยนแปลงขนาดและรูปร่างของนิวเคลียส (←) เยื่อหุ้มนิวเคลียสฉีกขาด (\*)  
และมีเซลล์ตาย (o)

กำลังขยาย x 250 ย้อมสี Haematoxylin และ Eosin

สถาบันวิทยบริการ  
จุฬาลงกรณ์มหาวิทยาลัย

### ผลของเมวินฟอสต่อ Leydig cell ของหนูอายุ 80 วัน

เนื้อเยื่ออัณฑะของหนูอายุ 80 วัน ภายหลังได้รับเมวินฟอสในปริมาณ 25 ไมโครกรัมต่อน้ำหนักตัว 1 กิโลกรัม ติดต่อกันเป็นเวลา 30 วัน โดยเริ่มฉีดเมื่ออายุ 50 วัน พบว่าเนื้อเยื่อระหว่างท่อเซมินิเฟอรัสถูกทำลายเสียหาย (รูปที่ 7-C,D,E,F) เมื่อเปรียบเทียบกับหนูกุ่มควบคุม (รูปที่ 7-A,B) โดยมีการเปลี่ยนแปลงรูปร่าง ขนาดของนิวเคลียส มีการรวมกลุ่มของโครมาติน บริเวณเยื่อหุ้มนิวเคลียส และมีการตายของ Leydig cell

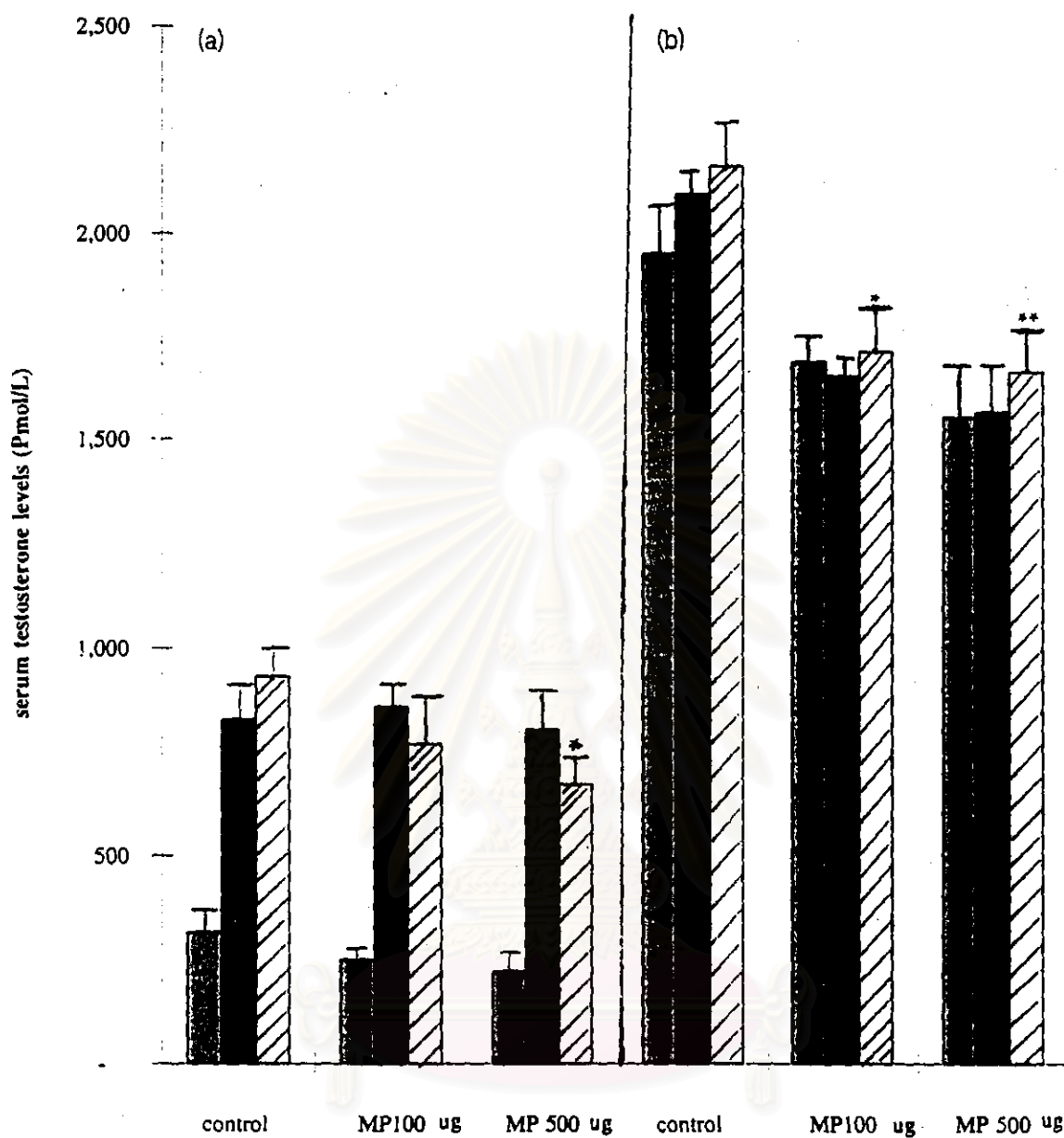
ส่วนเนื้อเยื่อที่อยู่ระหว่างท่อเซมินิเฟอรัสของหนูกัดเองที่ได้รับสารเมวินฟอสในปริมาณ 100 ไมโครกรัมต่อน้ำหนัก 1 กิโลกรัม ติดต่อกันเป็นเวลา 30 วัน นั้นมีการเปลี่ยนแปลงรุนแรงมากกว่า (ดังรูปที่ 6-C,E) Leydig cell มีการเปลี่ยนแปลง ขนาดและรูปร่าง และมีการรวมกลุ่มของโครมาติน รอบเยื่อหุ้มนิวเคลียส พบการฉีกขาดของเยื่อหุ้มนิวเคลียส และมีการตายของ Leydig cell (รูปที่ 8-D,F)

### ผลของเมทิลพาราไธออนต่อระดับเทสโทสเทอโรนในซีรัมของหนูเพศผู้อายุ 24 วัน

จากรูปที่ 9(a) ระดับเทสโทสเทอโรนในซีรัมของหนูที่ได้รับเมทิลพาราไธออนปริมาณ 100 และ 500 ไมโครกรัมต่อน้ำหนักตัว 1 กิโลกรัม เมื่ออายุ 24 วัน เป็นเวลา 10 และ 20 วัน ไม่แตกต่างกับกลุ่มควบคุม เช่นเดียวกันกับ เมื่อได้รับเมทิลพาราไธออนปริมาณ 100 ไมโครกรัมต่อน้ำหนัก 1 กิโลกรัมเป็นเวลา 30 วัน แต่จะพบว่าถ้าได้รับเมทิลพาราไธออน ปริมาณ 500 ไมโครกรัมต่อน้ำหนักตัว 1 กิโลกรัม เป็นเวลา 30 วัน ระดับเทสโทสเทอโรนจะลดต่ำลง ( $671.2 \pm 83.3$  พิโคโมลต่อลิตร) อย่างมีนัยสำคัญทางสถิติ ( $p < 0.05$ ) เมื่อเปรียบเทียบกับกลุ่มควบคุม ( $932.9 \pm 85.1$  พิโคโมลต่อลิตร)

### ผลของเมทิลพาราไธออนต่อระดับเทสโทสเทอโรนในซีรัมของหนูเพศผู้อายุ 50 วัน

จากรูปที่ 9(b) ระดับเทสโทสเทอโรนในซีรัมของหนูที่ได้รับเมทิลพาราไธออน 100 และ 500 ไมโครกรัมต่อน้ำหนักตัว 1 กิโลกรัม เมื่ออายุ 50 วัน เป็นเวลา 10 และ 20 วัน พบว่ามีระดับไม่แตกต่างกับกลุ่มควบคุม แต่จะพบว่าเมื่อได้รับเมทิลพาราไธ



รูปที่ ๑ แสดงระดับเทสโทสเตอโรนในซีรัม พิโคโมลต่อลิตร (Pmol/L) ของหนู เมื่อได้รับเมทิลพาราไรออน (MP) ปริมาณ 100 และ 500 ไมโครกรัมต่อน้ำหนัก 1 กิโลกรัม เป็นเวลา 10 (■), 20 (■) และ 30 (▨) วัน โดยเริ่มฉีดเมื่อหนูอายุ 24 วัน (a) และ 50 วัน (b) \* และ \*\* แตกต่างกับกลุ่มควบคุม อย่างมีนัยสำคัญที่  $p < 0.05$  และ  $p < 0.01$  ตามลำดับ ค่าที่แสดงเป็นค่าเฉลี่ย  $\pm$  SEM (n=14-15)

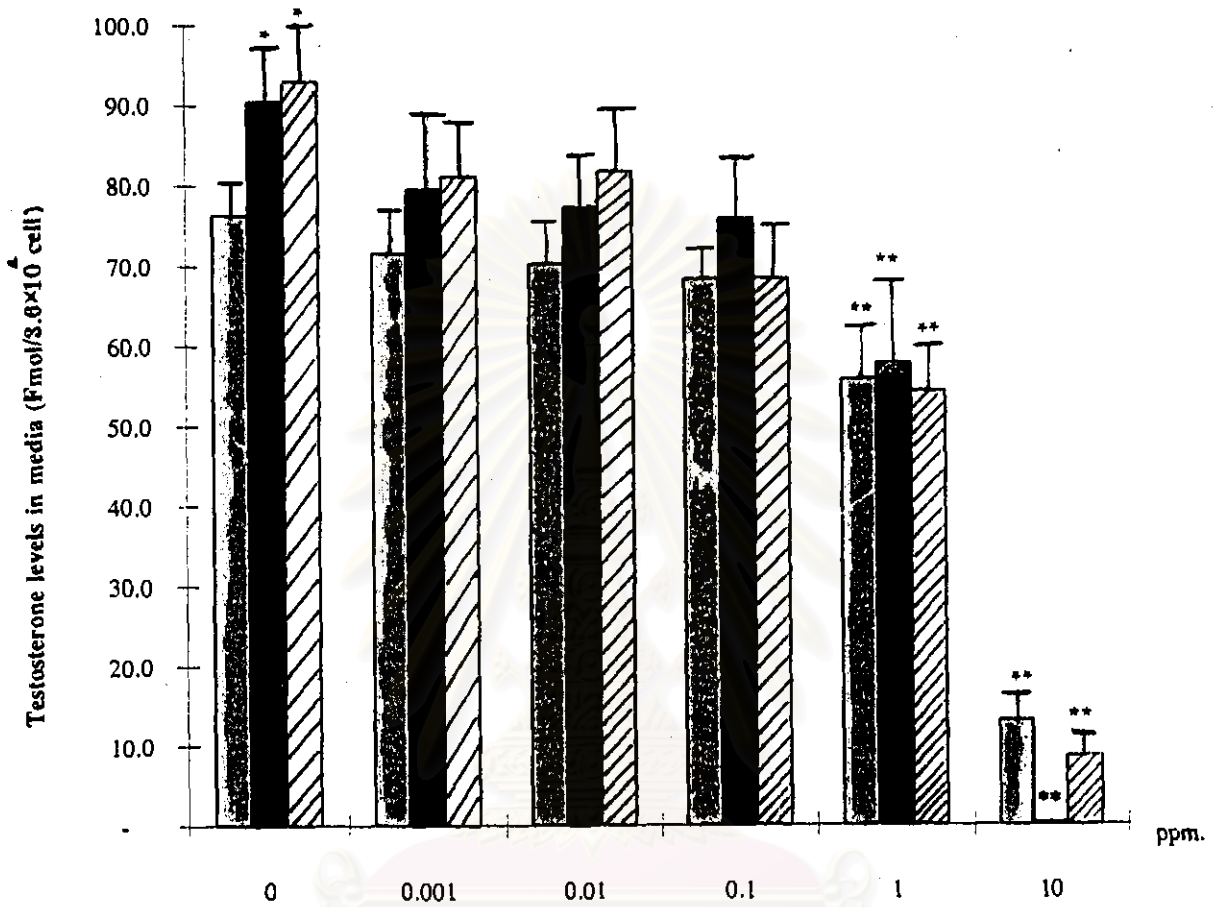


ออน ปริมาณ 100 และ 500 ไมโครกรัมต่อน้ำหนักตัว 1 กิโลกรัม เป็นเวลา 30 วัน ระดับเทสโทสเทอโรนจะลดต่ำลง ( $1712.5 \pm 30.2$  และ  $1662.4 \pm 88.1$  นิโคโมลต่อลิตร) อย่างมีนัยสำคัญทางสถิติ ( $p < 0.05$ ) และ อย่างมีนัยสำคัญยิ่งทางสถิติ ( $p < 0.01$ ) ตามลำดับ เมื่อเปรียบเทียบกับกลุ่มควบคุม ( $2163 \pm 19.18$  นิโคโมลต่อลิตร)

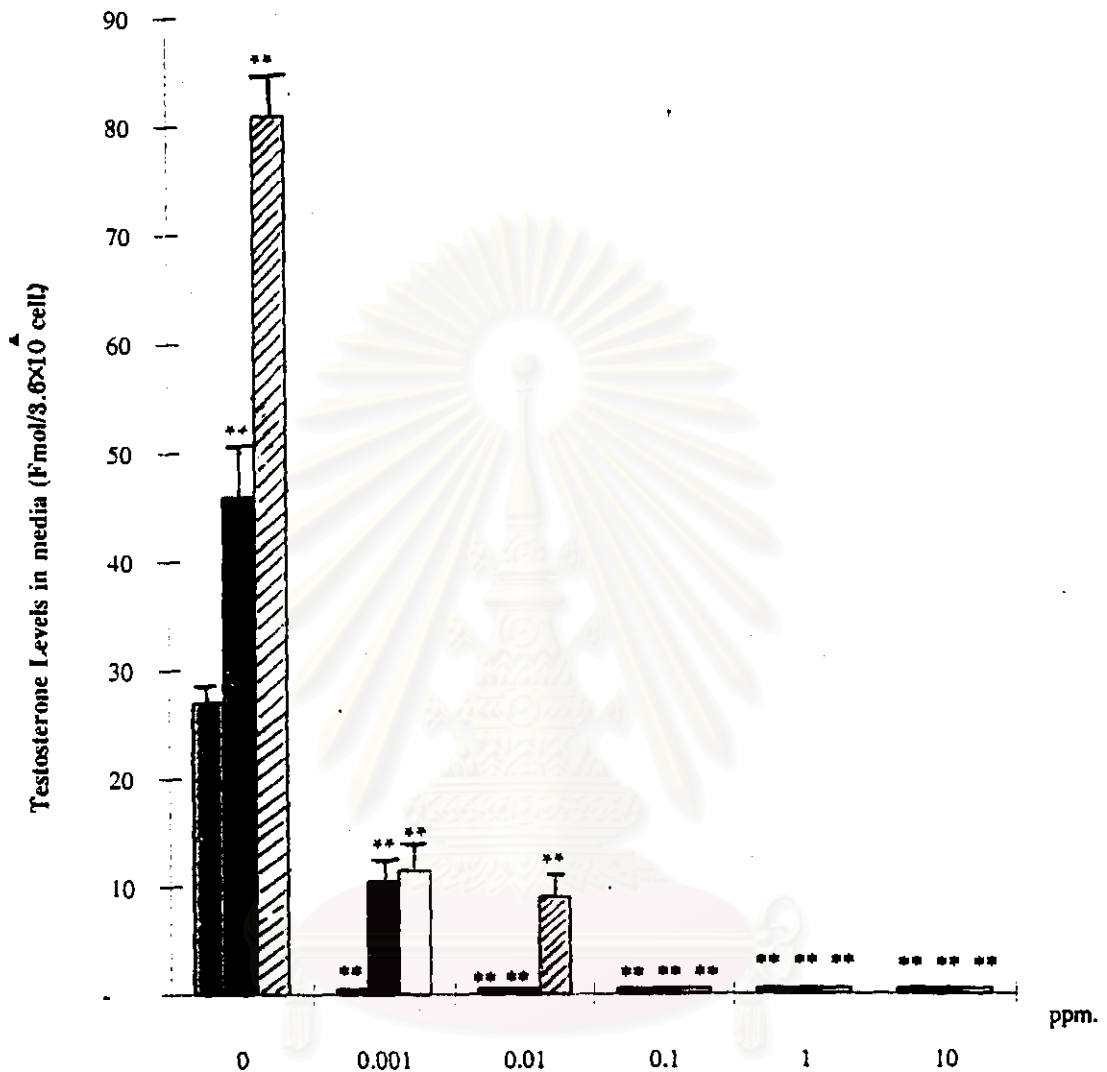
### ผลของเมทิลพาราไธออนต่อการหลั่งเทสโทสเทอโรนจาก Leydig cell

#### ของหนูอายุ 24 วัน

จากรูปที่ 10 ปริมาณเทสโทสเทอโรนใน media จะเพิ่มขึ้นเมื่อกระตุ้นด้วย hCG และ CAMP ( $90.8 \pm 7.3$  และ  $93.0 \pm 7.3$  เฟมโตโมล/ $3.6 \times 10^4$  cell) ตามลำดับ อย่างมีนัยสำคัญทางสถิติ ( $p < 0.05$ ) เมื่อเปรียบเทียบกับกลุ่มควบคุม ( $76.3 \pm 12.7$  เฟมโตโมล/ $3.6 \times 10^4$  cell) แต่จะพบว่าปริมาณเทสโทสเทอโรนใน media ที่มีเมทิลพาราไธออน ปริมาณ 0.001, 0.01 และ 0.1 ppm จะไม่แตกต่างกับกลุ่มควบคุม ในขณะที่ปริมาณเมทิลพาราไธออน 1 และ 10 ppm จะทำให้ปริมาณเทสโทสเทอโรนลดลง (55 ทางสถิติ ( $p < 0.01$ ) เมื่อเปรียบเทียบกับกลุ่มควบคุม ( $76.3 \pm 12.7$  เฟมโตโมล/ $3.9 \times 10^4$  cell) นอกจากนี้ปริมาณเทสโทสเทอโรนใน media ที่มี hCG 0.078 IU และเมทิลพาราไธออนปริมาณ 0.001, 0.01, และ 0.1 ppm มีปริมาณเทสโทสเทอโรน ไม่แตกต่างกับกลุ่มควบคุม แต่ที่ระดับความเข้มข้นของเมทิลพาราไธออน 1 และ 10 ppm สามารถลดปริมาณเทสโทสเทอโรนลง ( $57.0 \pm 5.1$  และ  $0.0$  เฟมโตโมล/ $3.6 \times 10^4$  cell) ตามลำดับ อย่างมีนัยสำคัญยิ่งทางสถิติ ( $p < 0.01$ ) เมื่อเปรียบเทียบกับกลุ่มควบคุม ( $90.8 \pm 7.3$  เฟมโตโมล/ $3.8 \times 10^4$  cell) เช่นเดียวกันกับปริมาณเทสโทสเทอโรนใน media ที่มี CAMP 10 nM และ เมทิลพาราไธออนปริมาณ 0.001, 0.01 และ 0.1 ppm มีปริมาณเทสโทสเทอโรนไม่แตกต่างกับกลุ่มควบคุม แต่เมื่อมีเมทิลพาราไธออนปริมาณ 1 และ 10 ppm ก็สามารถลดปริมาณเทสโทสเทอโรนลง ( $54.5 \pm 4.1$  และ  $8.5 \pm 1.8$  เฟมโตโมล/ $3.6 \times 10^4$  cell) ตามลำดับ อย่างมีนัยสำคัญยิ่งทางสถิติ ( $p < 0.01$ ) เมื่อเปรียบเทียบกับกลุ่มควบคุม ( $93.0 \pm 7.6$  เฟมโตโมล/ $3.6 \times 10^4$  cell)



รูปที่ 10 แสดงปริมาณเทสโทสเตอโรน เฟมโตโมล (Fmol) ที่หลั่งจาก Leydig cell ( $3.6 \times 10^4$  cell) ของหนู อายุ 24 วัน เมื่อได้รับเมทิลทาร์ราโซอน ที่ระดับความเข้มข้น 0.001, 0.01, 0.1, 1 และ 10 ppm. ที่เลี้ยงใน media ที่อุณหภูมิ 34 C เป็นเวลา 2 ชั่วโมง (■ = MP, ■ = MP+hCG, ▨ = MP+cAMP) \* และ \*\* แตกต่างจากกลุ่มที่ไม่มี MP(0) อย่างมีนัยสำคัญที่  $p < 0.05$  และ  $p < 0.01$  ตามลำดับ ค่าที่แสดงเป็นค่าเฉลี่ย  $\pm$  SEM (n=10)



รูปที่ 11 แสดงปริมาณเทสโทสเตอโรน เฟมโตโมล (Fmol) ที่หลั่งจาก Leydig cell ( $3.9 \times 10^4$  cell) ของหนู อายุ 70-75 วัน เมื่อได้รับเมทิลพาราไอออน ที่ระดับความเข้มข้น 0.001, 0.01, 0.1, 1 และ 10 ppm. ที่เลี้ยงใน media ที่อุณหภูมิ 34 C เป็นเวลา 2 ชั่วโมง (■ = MP; ■ = MP+hCG; ▨ = MP+cAMP) \* และ \*\* แตกต่างจากกลุ่มที่ไม่มี MP(0) อย่างมีนัยสำคัญที่  $p < 0.05$  และ  $p < 0.01$  ตามลำดับ ค่าที่แสดงเป็นค่าเฉลี่ย  $\pm$  SEM (n=10)

ผลของเมทิลพาราไธออนต่อการหลั่งเทสโทสเทอโรนจาก Leydig cell

ของหนูอายุ 70-75 วัน

จากรูปที่ 11 ปริมาณเทสโทสเทอโรนใน media จะเพิ่มขึ้นเมื่อกระตุ้นด้วย hCG และ cAMP ( $46.5 \pm 5.3$  และ  $81.3 \pm 3.4$  เฟมโตโมล/ $3.9 \times 10^4$  cell) ตามลำดับ เมื่อเปรียบเทียบกับกลุ่มควบคุม ( $27.7 \pm 2.1$  เฟมโตโมล/ $3.9 \times 10^4$  cell) แต่จะพบว่า ปริมาณเทสโทสเทอโรนใน media ที่มีเมทิลพาราไธออนปริมาณ 0.001, 0.01, 0.1, 1 และ 10 ppm จะยับยั้งการสร้างเทสโทสเทอโรนได้ทั้งหมด เมื่อเปรียบเทียบกับกลุ่มควบคุม ( $27.7 \pm 2.1$  เฟมโตโมล/ $3.6 \times 10^4$  cell) เช่นเดียวกันกับ ปริมาณเทสโทสเทอโรนใน media ที่มี hCG 0.078 IU และเมทิลพาราไธออนปริมาณ 0.001 ลดปริมาณเทสโทสเทอโรนลง ( $46.5 \pm 5.3$  เฟมโตโมล/ $3.9 \times 10^4$  cell) อย่างมีนัยสำคัญทางสถิติ ( $p < 0.01$ ) เมื่อเปรียบเทียบกับกลุ่มควบคุม ( $10.5 \pm 1.5$  เฟมโตโมล/ $3.9 \times 10^4$  cell) ในขณะที่เมทิลพาราไธออนปริมาณ 0.01, 0.1, 1 และ 10 ppm ยับยั้งการสร้างเทสโทสเทอโรนได้ทั้งหมด นอกเหนือจากนี้ปริมาณเทสโทสเทอโรนใน media ที่มี cAMP 10 nM และเมทิลพาราไธออน ปริมาณ 0.001, 0.01 ลดปริมาณเทสโทสเทอโรนลง ( $11.5 \pm 1.9$  และ  $9.0 \pm 2.7$  เฟมโตโมล/ $3.9 \times 10^4$  cell) ตามลำดับ อย่างมีนัยสำคัญทางสถิติ ( $p < 0.01$ ) เมื่อเปรียบเทียบกับกลุ่มควบคุม ( $81.3 \pm 3.4$  เฟมโตโมล/ $3.9 \times 10^4$  cell) ในขณะที่มีปริมาณเมทิลพาราไธออน 0.1, 1 และ 10 ppm สามารถยับยั้งการหลั่งเทสโทสเทอโรนได้ทั้งหมด

ผลของเมทิลพาราไธออนต่อ Leydig cell ของหนูอายุ 54 วัน

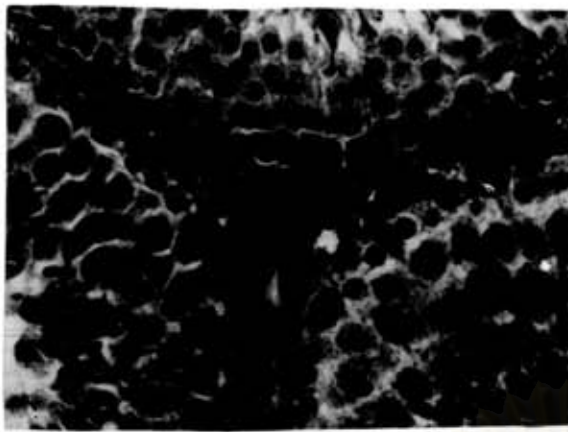
เนื้อเยื่ออัณฑะของหนูอายุ 54 วัน ภายหลังได้รับเมทิลพาราไธออนในปริมาณ 100 ไมโครกรัมต่อน้ำหนักตัว 1 กิโลกรัม ติดต่อกันเป็นเวลา 30 วัน โดยเริ่มฉีดเมื่ออายุ 24 วัน พบการเปลี่ยนแปลงสีของเนื้อเยื่อระหว่างท่อเซมินิเฟอรัสและ Leydig cell (รูปที่ 12-C, D, E, F) มีการสลายตัวของนิวเคลียส มีการเปลี่ยนแปลงรูปร่าง และลักษณะของนิวเคลียสและการรวมกลุ่มโครมาตินที่บริเวณรอบ ๆ เซลล์นิวเคลียสและมีการคายของเซลล์ เมื่อเปรียบเทียบกับเนื้อเยื่อและ Leydig cell ปกติในหนูกลุ่ม

ควบคุม (รูปที่ 12-A,B)

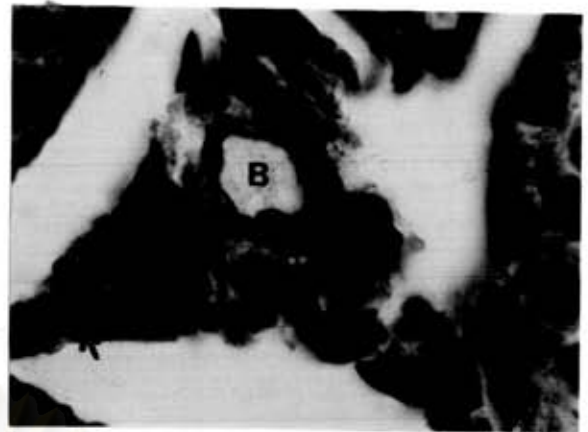
ส่วนเนื้อเยื่อและ Leydig cell ที่อยู่ระหว่างท่อเซมินิเฟอรัส ของหนูกลุ่มทดลอง ที่ได้รับเมทิลทาราไซออนในปริมาณ 500 ไมโครกรัมต่อน้ำหนักตัว 1 กิโลกรัม ติดต่อกันเป็นเวลา 30 วัน พบว่ามีการทำลายของเนื้อเยื่อและ Leydig cell คล้ายคลึงกับในหนูกลุ่มทดลองที่ได้รับสารนี้ในปริมาณ 100 ไมโครกรัมต่อน้ำหนักตัว 1 กิโลกรัม มีการเปลี่ยนแปลงรูปร่างและขนาดของนิวเคลียสของ Leydig cell และมีการผลายตัวของนิวเคลียสที่เกิดการตาย (รูปที่ 13-D,F) เมื่อเปรียบเทียบกับเซลล์ปกติในหนูกลุ่มควบคุม (รูปที่ 13-A,B)

ผลของเมทิลทาราไซออนต่อ Leydig cell ของหนูอายุ 80 วัน

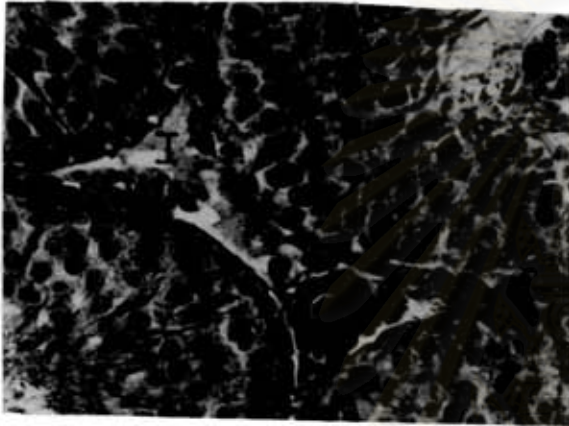
Leydig cell จากอวัยวะของหนูอายุ 80 วัน ภายหลังจากได้รับเมทิลทาราไซออนในปริมาณ 100 ไมโครกรัมต่อน้ำหนักตัว 1 กิโลกรัม ติดต่อกันเป็นเวลา 30 วัน มีการทำลายเนื้อเยื่อบริเวณท่อเซมินิเฟอรัสและ Leydig cell จำนวนมาก (รูปที่ 14-C,D) มีการเปลี่ยนแปลงรูปร่างและขนาดของนิวเคลียส รวมทั้งการผลายตัวของนิวเคลียส และการตายของ Leydig cell ในเซลล์ส่วนใหญ่ที่พบในบริเวณเนื้อเยื่อระหว่างท่อเหล่านี้ (รูปที่ 14-D,F) เมื่อเปรียบเทียบกับ Leydig cell ของหนูกลุ่มควบคุม (รูปที่ 14-A,B) ส่วนหนูทดลองที่ได้รับสารนี้ในปริมาณ 500 ไมโครกรัมต่อน้ำหนักตัว 1 กิโลกรัม ติดต่อกันเป็นเวลา 30 วัน พบการเปลี่ยนแปลงและการทำลายเนื้อเยื่อและ Leydig cell เป็นจำนวนมาก (รูปที่ 15-C,E) มีการเปลี่ยนแปลงลักษณะรูปร่าง และขนาดของนิวเคลียส มีการฉีกขาดของเยื่อหุ้มนิวเคลียสในบางเซลล์ มีการตายของ Leydig cell ในลักษณะที่เกิดการผลายตัวของนิวเคลียส (รูปที่ 15-D,F) เมื่อเปรียบเทียบกับหนูกลุ่มควบคุม (รูปที่ 15-A,B)



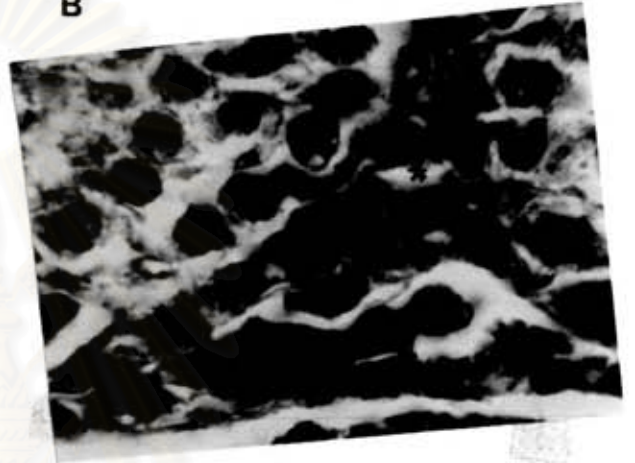
A



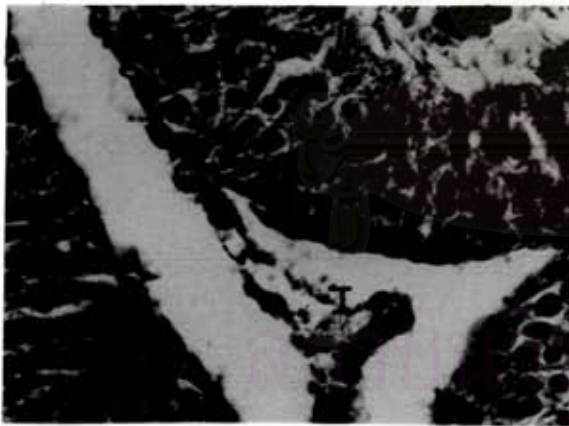
B



C



D



E



F

รูปที่ 12 ภาพจากกล้องจุลทรรศน์ใช้แสง แสดงรูปร่างของ Leydig cell ของหนู อายุ 54 วัน ระหว่างหนูกุ่มควบคุมกับหนูทดลองที่ได้รับเมทิลพาราไซออนใน ปริมาณ 100 ไมโครกรัมค่อน้ำหนักตัว 1 กิโลกรัม ติดต่อกันเป็นเวลา 30 วัน โดยเริ่มฉีดเมื่ออายุ 24 วัน

12-A แสดงลักษณะของเนื้อเยื่อที่อยู่ระหว่างท่อเซมินิเฟอร์ัส ของหนูกลุ่มควบคุมอายุ 54 วัน ซึ่งอยู่ในสภาพปกติ (I)

กำลังขยาย x 100 ส้อมสี Haematoxylin และ Eosin

12-B แสดงลักษณะของ Leydig cell ปกติของหนูกลุ่มควบคุม อายุ 54 วัน (←) ซึ่งเป็นเซลล์รูปกลมภายในไฮโดพลาสซิมมีนิวเคลียสกลมใหญ่และมีนิวคลีโอลัส 1 อันชัดเจน เซลล์กลุ่มนี้จัดเรียงตัวอยู่รอบ ๆ เส้นเลือด (B)

กำลังขยาย x 250 ส้อมสี Haematoxylin และ Eosin

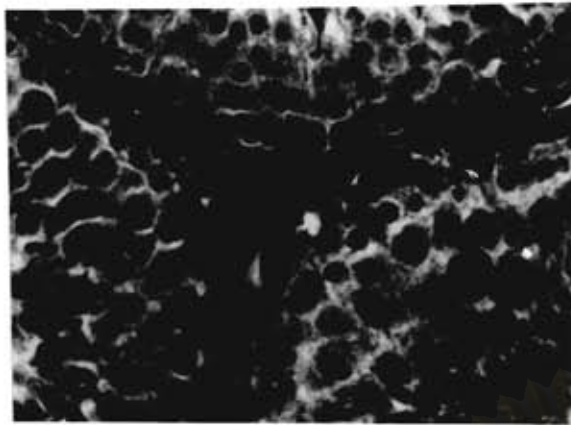
12-C,E แสดงลักษณะการเปลี่ยนแปลงของเนื้อเยื่อและ Leydig cell ที่อยู่ระหว่างท่อเซมินิเฟอร์ัส ของหนูที่ได้รับเมทิลพาราไอซอน 100 ไมโครกรัมค่อน้ำหนักตัว 1 กิโลกรัม ติดต่อกันเป็นเวลา 30 วัน พบว่าการเสียหายและลดจำนวนเซลล์เมื่อเปรียบเทียบกับเนื้อเยื่อที่อยู่ในกลุ่มควบคุม

กำลังขยาย x 100 ส้อมสี Haematoxylin และ Eosin

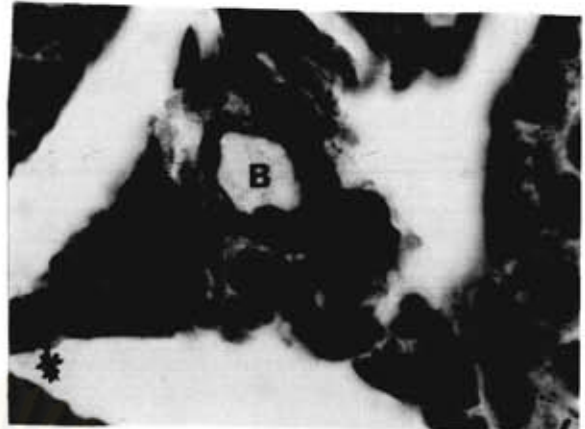
12-D,F แสดงลักษณะของ Leydig cell ของหนูที่ได้รับเมทิลพาราไอซอน 100 ไมโครกรัมค่อน้ำหนักตัว 1 กิโลกรัม ติดต่อกันเป็นเวลา 30 วัน พบว่านิวเคลียสมีรูปร่างบิดเบี้ยวและขนาดเล็กลง (←) พบเซลล์มีการสลายตัวของนิวเคลียส (\*) และเซลล์ตาย (o)

กำลังขยาย x 250 ส้อมสี Haematoxylin และ Eosin

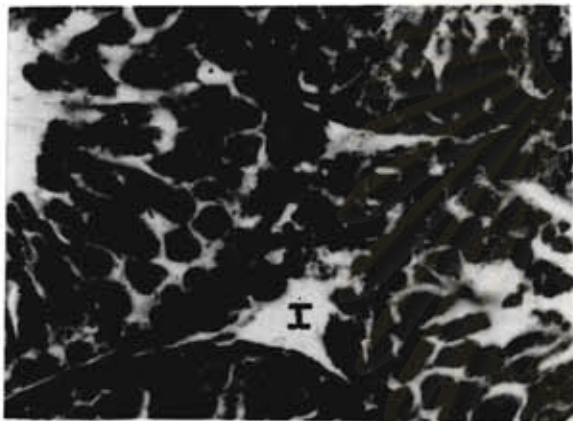
จุฬาลงกรณ์มหาวิทยาลัย



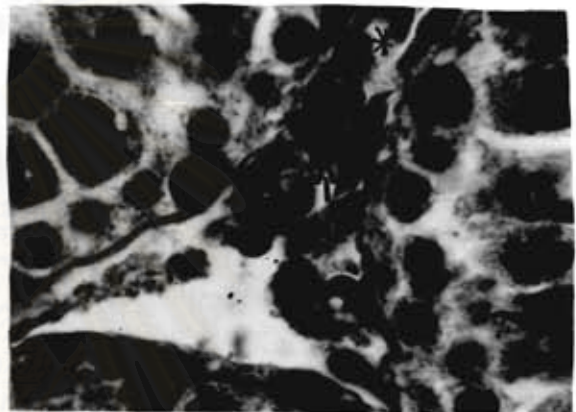
A



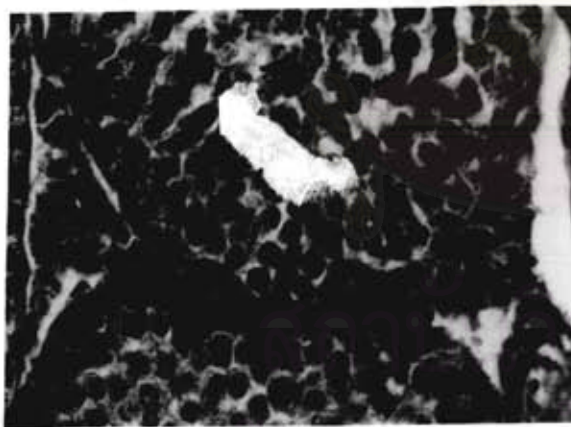
B



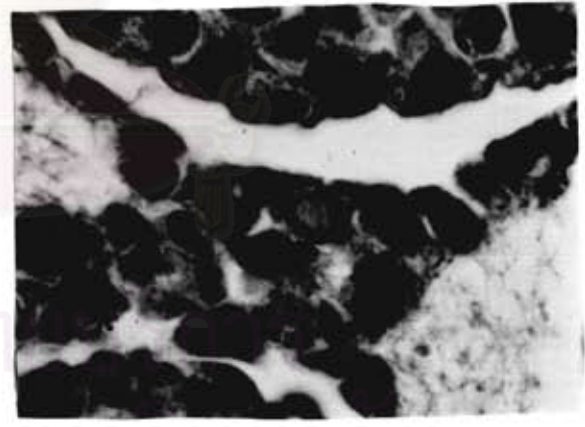
C



D



E



F

รูปที่ 13 ภาพจากกล้องจุลทรรศน์ใช้แสง แสดงรูปร่างของ Leydig cell ของหนูอายุ 54 วัน ระหว่างหนูกุ่มควบคุมกับหนูกดลองที่ได้รับเมทิลพาราไซออนในปริมาณ 500 ไมโครกรัมค่อน้ำหนักตัว 1 กิโลกรัม ติดต่อกันเป็นเวลา 30 วัน โดยเริ่มฉีดเมื่ออายุ 24 วัน



13-A แสดงลักษณะของเนื้อเยื่อที่อยู่ระหว่างท่อเซมินิเฟอรัส ของหนูกลุ่มควบคุมอายุ 54 วัน ซึ่งอยู่ในสภาพปกติ ประกอบด้วย Leydig cell จำนวนมาก (I)

กำลังขยาย x 100 ส้อมสี Haematoxylin และ Eosin

13-B แสดงลักษณะของ Leydig cell ปกติของหนูกลุ่มควบคุมอายุ 54 วัน ซึ่งเป็นเซลล์รูปกลมภายในไฮโดพลาสซึมมีนิวเคลียสกลมใหญ่และมีนิวเคลโอลัส 1 อันชัดเจน (\*) และเรียงตัวหนาแน่นอยู่รอบเส้นเลือด (B)

กำลังขยาย x 250 ส้อมสี Haematoxylin และ Eosin

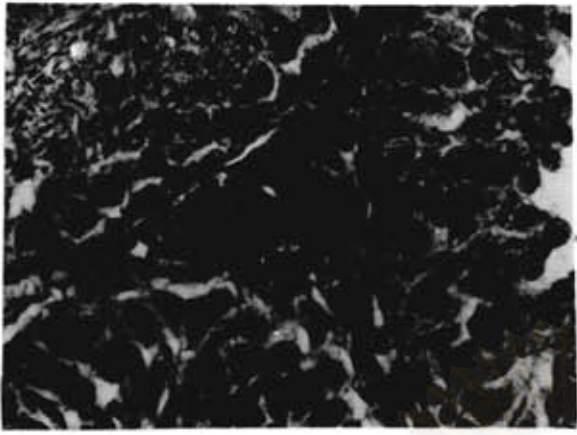
13-C,E แสดงลักษณะการเปลี่ยนแปลงของเนื้อเยื่อและ Leydig cell ที่อยู่ระหว่างท่อเซมินิเฟอรัส ของหนูที่ได้รับเมทิลพาราไธออน 100 ไมโครกรัมค่อน้ำหนักตัว 1 กิโลกรัม ติดต่อกันเป็นเวลา 30 วัน พบว่ามีการทำลายเนื้อเยื่อ (I) เมื่อเปรียบเทียบกับของกลุ่มควบคุม

กำลังขยาย x 100 ส้อมสี Haematoxylin และ Eosin

13-D,F แสดงลักษณะของ Leydig cell ของหนูที่ได้รับเมทิลพาราไธออน 500 ไมโครกรัมค่อน้ำหนักตัว 1 กิโลกรัม ติดต่อกันเป็นเวลา 30 วัน พบว่านิวเคลียสมีรูปร่างบิดเบี้ยวและขนาดเล็กลง (←) พบเซลล์บางบริเวณจะสูญเสียมีการสลายตัวของนิวเคลียส (\*)

กำลังขยาย x 250 ส้อมสี Haematoxylin และ Eosin

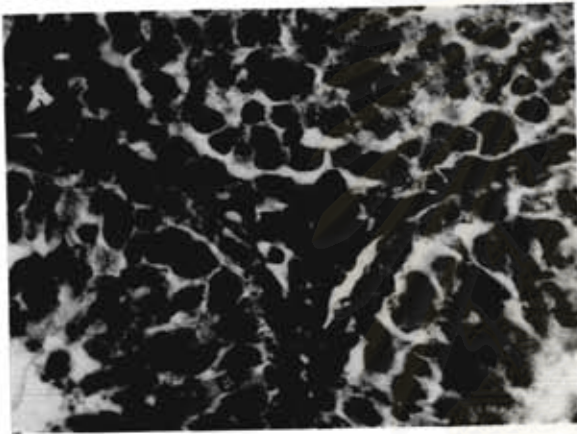
สถาบันวิทยบริการ  
จุฬาลงกรณ์มหาวิทยาลัย



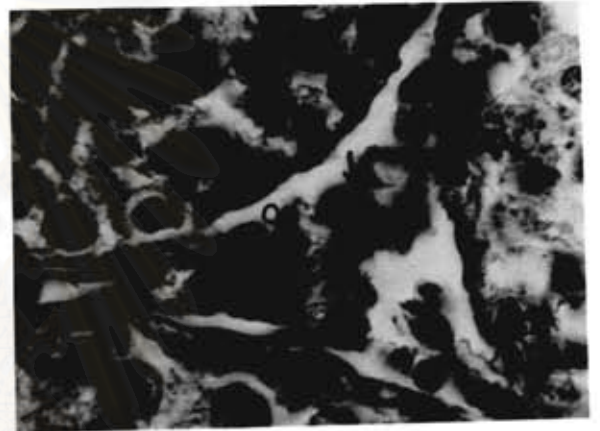
A



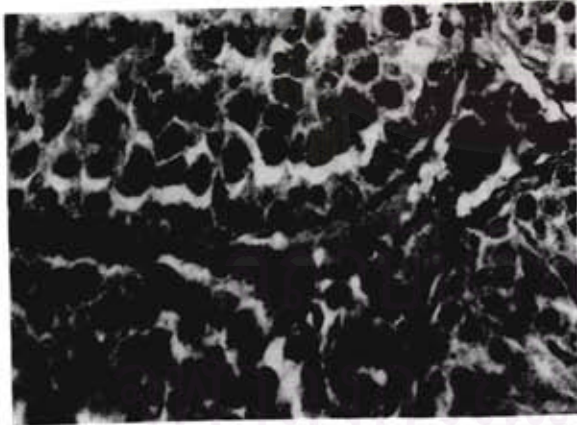
B



C



D



E

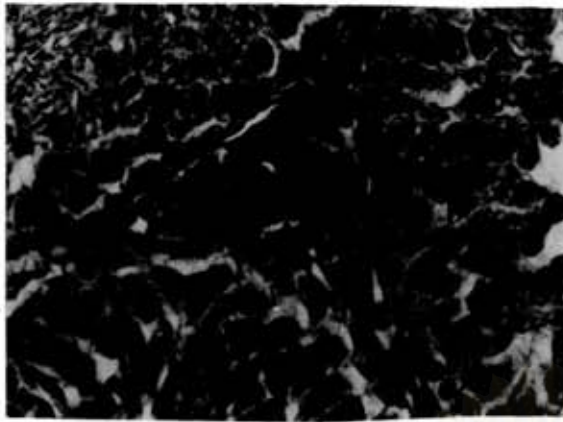


F

รูปที่ 14 ภาพจากกล้องจุลทรรศน์ใช้แสง แสดงรูปร่างของ Leydig cell ของหนู อายุ 80 วัน ระหว่างหนูกุ่มควบคุมกับหนูทดลองที่ได้รับเมทิลพาราไซออนใน ปริมาณ 100 ไมโครกรัมต่อน้ำหนักตัว 1 กิโลกรัม ติดต่อกันเป็นเวลา 30 วัน โดยเริ่มฉีดเมื่ออายุ 50 วัน

- 14-A แสดงลักษณะของเนื้อเยื่อและ Leydig cell ปกติที่อยู่ระหว่างท่อเซมินิเฟอรัส  
ของหนูกลุ่มควบคุมอายุ 80 วัน พบว่ามี Leydig cell จำนวนมาก (I)  
กำลังขยาย x 100 ส้อมสี Haematoxylin และ Eosin
- 14-B แสดงลักษณะของ Leydig cell (\*) ปกติของหนูกลุ่มควบคุมอายุ 80 วัน  
กำลังขยาย x 250 ส้อมสี Haematoxylin และ Eosin
- 14-C,E แสดงลักษณะการเปลี่ยนแปลงของเนื้อเยื่อและ Leydig cell ที่อยู่ระหว่างท่อ  
เซมินิเฟอรัส (I) เมื่อเปรียบเทียบกับกลุ่มควบคุม  
กำลังขยาย x 100 ส้อมสี Haematoxylin และ Eosin
- 14-D,F แสดงลักษณะของ Leydig cell ของหนูที่ได้รับเมทิลพาราไซออน 100  
ไมโครกรัมต่อน้ำหนักตัว 1 กิโลกรัม ติดต่อกันเป็นเวลา 30 วัน พบว่า  
Leydig cell บางเซลล์นิวเคลียสมีรูปร่างบิดเบี้ยวและขนาดเล็กลง (-) มี  
การสลายตัวของนิวคลีโอลัสและการฉีกขาดของเยื่อหุ้มนิวเคลียส (\*) และพบ  
pyknetic nucleus ของเซลล์ที่เสียหายและตาย (o)  
กำลังขยาย x 250 ส้อมสี Haematoxylin และ Eosin

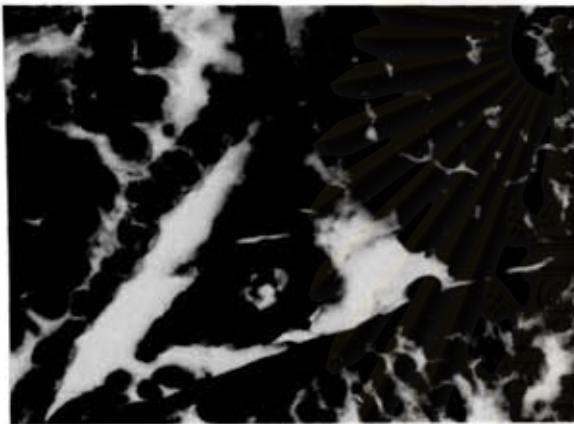
สถาบันวิทยบริการ  
จุฬาลงกรณ์มหาวิทยาลัย



A



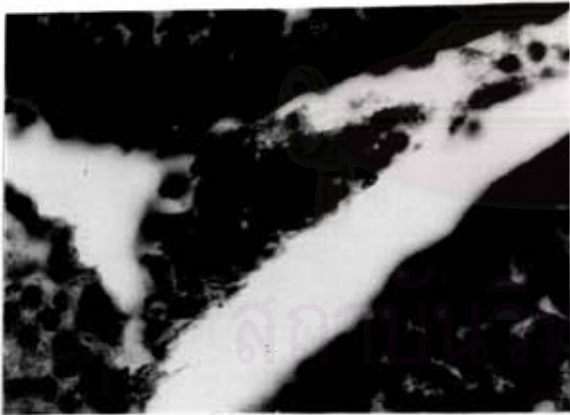
B



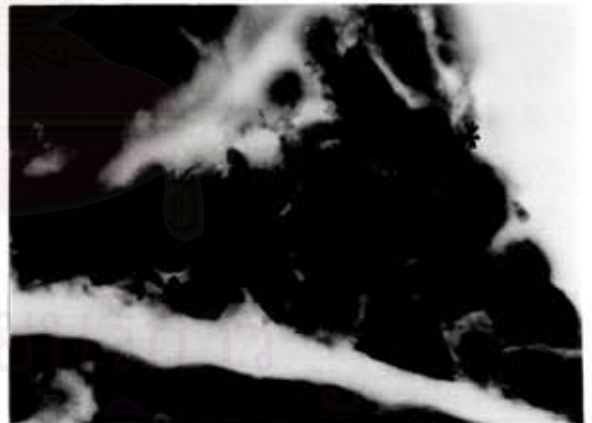
C



D



E



F

รูปที่ 15 ภาพจากกล้องจุลทรรศน์ใช้แสง แสดงรูปร่างของ Leydig cell ของหนู อายุ 80 วัน ระหว่างหนูกลุ่มควบคุมกับหนูทดลองที่ได้รับเมทิลพาราไซออนใน ปริมาณ 500 ไมโครกรัมต่อน้ำหนักตัว 1 กิโลกรัม ติดต่อกันเป็นเวลา 30 วัน โดยเริ่มฉีดเมื่ออายุ 50 วัน

15-A แสดงลักษณะปกติของเนื้อเยื่อและ Leydig cell ที่อยู่ระหว่างท่อเซมินิเฟอรัส ของหนูกลุ่มควบคุมอายุ 80 วัน

กำลังขยาย x 100 ส้อมสี Haematoxylin และ Eosin

15-B แสดงลักษณะปกติของ Leydig cell (\*) ของหนูกลุ่มควบคุมอายุ 80 วัน มีลักษณะเป็นเซลล์รูปกลม มีนิวเคลียสขนาดใหญ่และมีนิวคลีโอลัส 1 อันชัดเจน มีเซลล์จำนวนมากและเรียงตัวหนาแน่นอยู่รอบเส้นเลือด (B)

กำลังขยาย x 250 ส้อมสี Haematoxylin และ Eosin

15-C,E แสดงลักษณะการเปลี่ยนแปลงของเนื้อเยื่อและ Leydig cell ที่อยู่ระหว่างท่อ เซมินิเฟอรัส ของหนูที่ได้รับเมทิลทาราไซออน 500 ไมโครกรัมต่อน้ำหนักตัว 1 กิโลกรัม ติดต่อกันเป็น เวลา 30 วัน มีการทำลายเนื้อเยื่อและทำให้ Leydig cell ลดลงจำนวนมาก (I) เมื่อเปรียบเทียบกับของกลุ่มควบคุม

กำลังขยาย x 100 ส้อมสี Haematoxylin และ Eosin

15-D,F แสดงลักษณะที่เปลี่ยนแปลงไปของ Leydig cell ของหนูที่ได้รับเมทิลทาราไซออน 500 ไมโครกรัมต่อน้ำหนักตัว 1 กิโลกรัม ติดต่อกันเป็นเวลา 30 วัน พบเซลล์ที่บริเวณ (\*) เกิดการสูญเสียนิวคลีโอลัส นิวเคลียสมีรูปร่างเปลี่ยนแปลงบิดเบี้ยวและมีขนาดเล็กลง (←) และพบเซลล์ที่มีนิวเคลียสเล็กและผิดปกติ (o)

กำลังขยาย x 250 ส้อมสี Haematoxylin และ Eosin

จุฬาลงกรณ์มหาวิทยาลัย